

# ELEMENTI FINITI PER L'EQUAZIONE DI POISSON

Abbiamo visto come il problema

$$-\Delta u = f$$

possa essere risolto in generale trovati metodi iterativi in quanto la soluzione diretta del sistema di equazioni risultante è in generale troppo costosa.

In particolare abbiamo osservato come il metodo iterativo di Jacobi sia equivalente ad un metodo esplicito applicato all'equazione del calore bi-dimensionale

$$u_t = \Delta u + f$$

con la scelta del numero  $\Delta t$  ammissibile dalla condizione di stabilità ossia  $\Delta t = \frac{\Delta x^2}{4}$  con  $\Delta x = \Delta y$ .

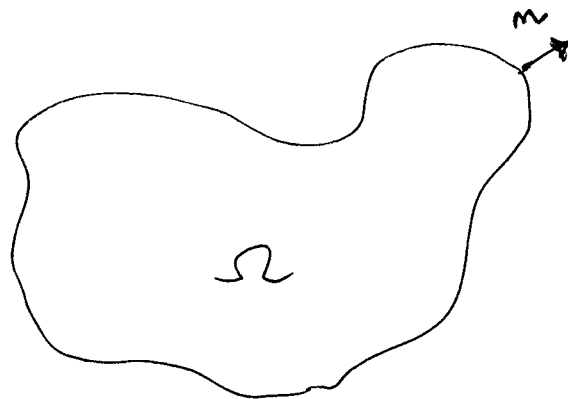
Abbiamo infatti che per  $t \rightarrow \infty$  l'equazione del calore raggiunge una soluzione stazionaria  $u_t$  non si lavora più variabili ossia  $u_t = 0$ . Ne consegue che

$$-\Delta u = f$$

ossia la soluzione cercata.

Lo svantaggio principale del metodo visto basato sulle differenze finite, sta nella difficoltà di

trattare problemi con geometrie complicate, quindi in pratica si presentano



TH. DIVERGENZA : Dato un vettore  $\sigma = (v_1, v_2)$  definito in  $\Omega$  si ha

$$\int_{\Omega} \operatorname{div} \sigma \, dX = \int_{\partial\Omega} \sigma \cdot n \, ds$$

$n = (n_1, n_2)$  vettore unitario normale a  $\partial\Omega$ ,  $dX$  elemento di area in  $\mathbb{R}^2$ ,  $ds$  elemento di lunghezza dell'arco lungo  $\partial\Omega$ .

NOTA :  $\operatorname{div} \sigma = \frac{\partial v_1}{\partial x} + \frac{\partial v_2}{\partial y}$ .

Applicandola ora ai vettori  $\sigma = \left( w \frac{\partial u}{\partial x}, 0 \right)$ ,  $\sigma = \left( 0, w \frac{\partial u}{\partial y} \right)$  si ha

$$\left\{ \begin{array}{l} \int_{\Omega} \frac{\partial w}{\partial x} \frac{\partial u}{\partial x} \, dX + \int_{\Omega} w \frac{\partial^2 u}{\partial x^2} \, dX = \int_{\partial\Omega} w \frac{\partial u}{\partial x} n_1 \, ds \\ \int_{\Omega} \frac{\partial w}{\partial y} \frac{\partial u}{\partial y} \, dX + \int_{\Omega} w \frac{\partial^2 u}{\partial y^2} \, dX = \int_{\partial\Omega} w \frac{\partial u}{\partial y} n_2 \, ds \end{array} \right.$$

Sommando le due precedenti espressioni otteniamo

$$\int_{\Omega} \text{grad } w \cdot \text{grad } u \, dX = \int_{\partial\Omega} w \frac{\partial u}{\partial n} \, d\sigma - \int_{\Omega} w \Delta u \, dX$$

con  $\frac{\partial u}{\partial n} = \frac{\partial u}{\partial x} n_1 + \frac{\partial u}{\partial y} n_2$ , note come formule

di Green.

Considero ora il problema

$$\begin{cases} -\Delta u = f & \text{in } \Omega \\ u = 0 & \text{in } \partial\Omega \end{cases}$$

moltiplicando per  $w$   
 e  $\forall$  integrando rispetto ad  $\Omega$  otteniamo la formulazione  
variazionale del problema, trovare  $u \in V$  t.c.

$$-\int_{\Omega} \Delta u w \, dX = \int_{\Omega} f w \, dX \quad \forall w \in V$$

con  $V$  spazio di funzionali opportuno.

Applicando ora il precedente risultato abbiamo

$$+\int_{\Omega} \text{grad } w \cdot \text{grad } u \, dX - \int_{\partial\Omega} w \frac{\partial u}{\partial n} \, d\sigma = \int_{\Omega} f w \, dX$$

ossia  $a(u, w) = (f, w) \quad \forall w \in V$

con  $V = \left\{ w / w \in C^0(\bar{\Omega}), \frac{\partial w}{\partial x}, \frac{\partial w}{\partial y} \in L^2(\Omega), w = 0 \text{ in } \partial\Omega \right\}$   
 e continue a pezzi in  $\Omega$  93

e  $(u, w)$  prodotto scalare -

Si dimostra che  $u \in V$  soddisfa al precedente problema  
 se e solo se  $u$  è soluzione del problema di minimo

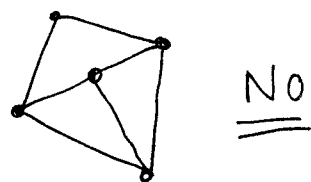
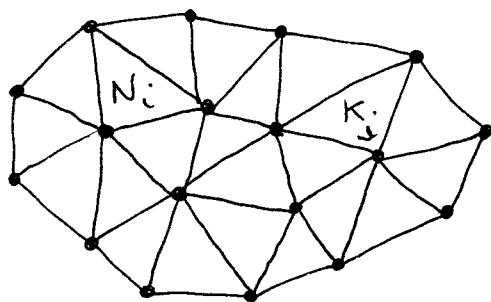
$$J(u) \leq J(w) \quad \forall w \in V$$

$$J(w) = \frac{1}{2} a(w, w) - (f, w).$$

### DEFINIZIONE DI UNO SPAZIO DISCRETO

Assumiamo per semplicità' ora che  $\partial\Omega$  sia una poligonale  
 e introduciamo in  $\Omega$  una triangolazione  $T_h$

$$\Omega = \bigcup_{K_j \in T_h}^m K_j = K_1 \cup K_2 \cup \dots \cup K_m$$



$$h = \max_{K_j \in T_h} \text{diam}(K_j), \quad \text{diam}(K_j) = \text{diametro di } K_j$$

$$V_h = \left\{ w_h / w_h \in C^0(\bar{\Omega}), w_h \text{ lineare in } K \in T_h, (w_h)|_{\partial\Omega} = 0 \right\}$$

tutte le funzioni continue lineari in ogni triangolo  $K$  e che  
 si annullano su  $\partial\Omega$ .

Si osserva che  $V_h \subset V$ .

Per descrivere  $w_h \in V$  utilizziamo i nodi  $N_i$ ,  
 $i = 1, \dots, M$  interni al dominio  $\Omega$ .

Definisco ora le funzioni  $\phi_j \in V_h$  t.c.

$$\phi_j(N_i) = \delta_{ij} = \begin{cases} 1 & i=j \\ 0 & i \neq j \end{cases} \quad i, j = 1, \dots, M$$

e definisco

$$w_h(x) = \sum_{j=1}^M \lambda_j \phi_j(x), \quad \lambda_j = w_h(N_j)$$

per  $x \in \Omega$ . (vedi figura accanto).

Abbiamo quindi il problema discreto (elementi finiti)

trovare  $u_h \in V_h$  t.c.  $a(u_h, w_h) = (f, w_h) \quad \forall w_h \in V_h$ .

Il che equivale a risolvere un sistema lineare delle forme

$$A \xi = b$$

con  $A = (a_{ij})$ ,  $a_{ij} = a(\phi_i, \phi_j)$ ,  $b = (b_i)$

$b_i = (f, \phi_i)$ ,  $\xi = (\xi_i)$ ,  $\xi_i = u_h(N_i)$ .

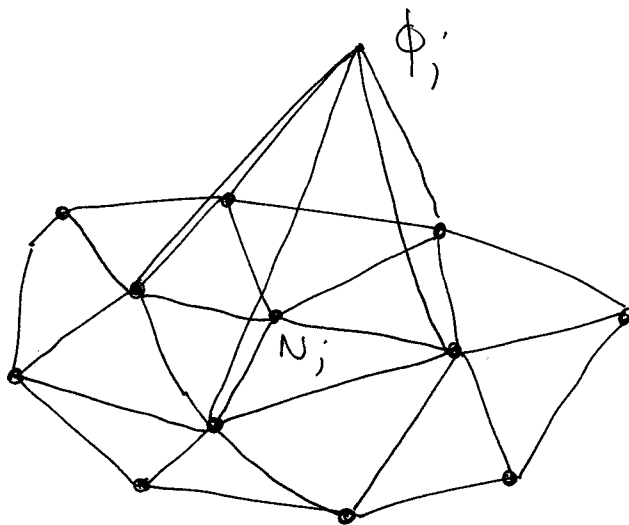
$A$  della natura di stiffness ed è simmetrica e definita  
positiva, inoltre  $A$  è sparsa in quanto  $a_{ij} = 0$   
a meno che  $N_i$  e  $N_j$  non siano nodi nello stesso  
triangolo.

Gli elementi  $a_{ij}$

$$a(\phi_i, \phi_j) = \sum_{K \in T_h} a_K(\phi_i, \phi_j)$$

$$= \sum_{K \in T_h} \int_K \text{grad } \phi_i \cdot \text{grad } \phi_j \, dX$$

sono dati dalla somma di contributi di diversi triangoli -



Il metodo appena descritto è detto metodo di Galerkin agli elementi finiti.

# EQUAZIONE DI POISSON: ELEMENTI FINITI

Abbiamo visto che il problema

$$\begin{cases} -\Delta u = f & \text{in } \Omega \\ u = 0 & \text{su } \partial\Omega \end{cases}$$

( $\Omega \subset \mathbb{R}^2$  dominio limitato con frontiera  $\partial\Omega$ )

in forma debole ha la forma

$$+ \int_{\Omega} \text{grad } w \cdot \text{grad } u \, dx - \int_{\partial\Omega} w \frac{\partial u}{\partial n} \, d\sigma = \int_{\Omega} f w \, dx$$

per  $w \in V$  spazio funzionale opportuno.

Scegliendo funzioni test  $w$  nulle al bordo otteniamo

$$+ \int_{\Omega} \text{grad } w \cdot \text{grad } u \, dx = \int_{\Omega} f w \, dx$$

che in forma compatta diventa

$$a(u, w) = (f, w) \quad \forall w \in V,$$

con  $a(u, w)$  forma bilineare.

Per la disuguaglianza di Cauchy-Schwartz

$$\left| \int_{\Omega} fg \, d\Omega \right| \leq \|f\|_{L^2} \|g\|_{L^2}$$

$$\text{con } \|\cdot\|_{L^2} = \sqrt{\int_{\Omega} |\cdot| \, dx}.$$

Dunque  $a(u, w)$  ha senso se  $\nabla u$  e  $\nabla w \in L^2$

e questo è garantito se  $u, w \in H^1(\Omega)$  spazio di Hilbert

$$H^1(\Omega) = \left\{ v: \Omega \rightarrow \mathbb{R} \mid v \in L^2(\Omega), \frac{\partial v}{\partial x}, \frac{\partial v}{\partial y} \in L^2(\Omega) \right\}.$$

In particolare il termine  $(f, w)$  sarà ben definito se

$$f \in L^2(\Omega).$$

Vali il seguente risultato

Lemma (Lax-Milgram): Sia  $V$  uno spazio di

Hilbert,  $a(\cdot, \cdot): V \times V \rightarrow \mathbb{R}$  una forma bilineare

continua e coerciva. Sia  $F: V \rightarrow \mathbb{R}$  un funzionale

lineare e continuo. Allora esiste unica la soluzione

del problema:

$$\text{cercare } u \in V : a(u, w) = (f, w) \quad \forall w \in V.$$

OSS: Una forma bilineare è coerciva se

$$a(u, u) \geq \alpha \|u\|_V^2 \quad \forall u \in V$$

OSS: Se la forma bilineare è simmetrica, ossia

$a(u, w) = a(w, u) \quad \forall u, w \in V$  allora il problema è equivalente a:

cercare  $u \in V$  :  $J(u) = \min_{w \in V} J(w)$

con

$$J(w) = \frac{1}{2} a(w, w) - (f, w)$$

Infatti per  $v \in V$

$$\begin{aligned} J(u+v) &= \frac{1}{2} [a(u, u) + 2a(u, v) + a(v, v)] - \\ &\quad - [(f, u) + (f, v)] = J(u) + [a(u, v) - (f, v)] \\ &\quad + \frac{1}{2} a(v, v) = J(u) + \frac{1}{2} a(v, v) \end{aligned}$$

Dunque

$$J(u+v) \geq J(u) + \frac{\alpha}{2} \|v\|_V^2$$

Posto  $w = u+v$  per l'arbitrarietà di  $v$  si ha

$$J(w) > J(u) \quad \forall w \in V, w \neq u.$$

## ANALISI METODO DI GALERKIN

Abbiamo visto che il metodo di Galerkin corrisponde al problema approssimato

$$(1) \quad a(u_h, w_h) = (f, w_h) \quad \forall w_h \in V_h$$

con  $V_h \subset V$  spazio di approssimazione opportuno.

Esempio:  $V_h$  spazio funzioni lineari caratterizzate dalle base  $\varphi_j$ ,  $j = 1, 2, \dots, \pi$  t.c.

$$\varphi_j(N_i) = \delta_{ij}$$

con  $N_i$ ,  $i = 1, 2, \dots, \pi$  nodi della mesh computazionale.

In generale data  $\varphi_j$  una base di  $V_h$  avremo

$$a(u_h, \varphi_i) = (f, \varphi_i) \quad i = 1, 2, \dots, \pi$$

Ora poiché  $u_h \in V_h$  avremo

$$u_h(x) = \sum_{j=1}^{\pi} u_j \varphi_j(x)$$

con  $u_j$  coefficienti incogniti ed il problema (1)

diventa

$$\sum_{j=1}^{\pi} u_j a(\varphi_j, \varphi_i) = (f, \varphi_i) \quad i = 1, \dots, \pi$$

Introduco la matrice di stiffness  $a_{ij} = a(\varphi_j, \varphi_i)$

abbiamo

$$(2) \quad A u = b.$$

Teorema: La matrice  $A$  è definita positiva e simmetrica.

Dim: La simmetria è conseguenza immediata della definizione di  $a(\cdot, \cdot)$ .

Vogliamo dimostrare che dato  $u_h \in V_h$   $u_h^T A u_h \geq 0$  e  
vale  $u_h^T A u_h = 0 \Leftrightarrow u_h = 0$ . Nota che  $u_h = (u_{h1}, \dots, u_{hn})$ .

$$\begin{aligned} u_h &= \sum_j u_j \varphi_j \Rightarrow u_h^T A u_h = \sum_j \sum_i u_i a_{ij} u_j = \\ &= \sum_j \sum_i u_i a(\varphi_j, \varphi_i) u_j = \sum_j \sum_i a(u_j \varphi_j, u_i \varphi_i) \\ &= a\left(\sum_j u_j \varphi_j, \sum_i u_i \varphi_i\right) = a(u_h, u_h) \geq \alpha \|u_h\|_V^2 \geq 0. \end{aligned}$$

Oss: Dunque la risoluzione può essere effettuata in modo efficiente tramite decomposizione di Cholesky o metodi iterativi come il gradient conjugate.

Direttamente dal Lemma di Lax-Nilgram si ottiene che

Corollario I: La soluzione di (1) esiste ed è unica.

Osserviamo che poiché (1) è equivalente al sistema lineare (2) ed  $A$  è definita positiva allora tale sistema ammette una unica soluzione. Questo è un altro modo di dimostrare il corollario precedente.

Corollario II: Il problema (1) è stabile nel senso che vale

$$\|u_h\|_V \leq \frac{1}{\alpha} C \|f\|_{L^2}$$

dim

Dalla coercività di  $a(\cdot, \cdot)$  discende

$$\alpha \|u_h\|_V^2 \leq a(u_h, u_h) = (f, u_h)$$

$$(f, u_h) \leq \|f\|_{L^2} C \|u_h\|_V.$$

□

Si dimostra inoltre che il metodo è consistente ossia:

Lemma: Il metodo di Galerkin è formalmente consistente

$$a(u - u_h, w_h) = 0 \quad \forall w_h \in V_h.$$

da  
 $V_h \subset V$  vale

$$a(u, w_h) = (f, w_h) \quad \forall w_h \in V_h$$

na erendo

$$a(u_h, w_h) = (f, w_h)$$

sottraendo dalla bilinearità si ottiene la tesi.  $\square$

Oss: Il risultato precedente esprime il fatto che  $u_h$  è la miglior approssimazione di  $u$  in  $V_h$ . Se  $a(\cdot, \cdot)$  fosse il prodotto scalare euclideo,  $u$  e  $u_h$  vettori allora l'espressione trovata esprimerebbe il fatto che l'errore  $u - u_h$  è ortogonale rispetto al sottospazio  $V_h$  di  $V$ .

### Convergenza del metodo di Galerkin

Consideriamo ora

$$\begin{aligned} a(u - u_h, u - u_h) &= a(u - u_h, u - w_h) + \overbrace{a(u - u_h, w_h - u_h)}^0 \\ &= a(u - u_h, u - w_h) \end{aligned}$$

dove  $a(u - u_h, w_h - u_h) = 0$  poiché  $w_h - u_h \in V_h$ .

$$|a(u - u_h, u - u_h)| \leq M \|u - u_h\|_V \|u - w_h\|_V$$

in quanto la forma bilineare è continua.

Per la coercività si ha inoltre

$$a(u - u_h, u - u_h) \geq \alpha \|u - u_h\|_V^2$$

da cui

$$\|u - u_h\|_V \leq \frac{\beta}{\alpha} \|u - w_h\|_V \quad \forall w_h \in V_h$$

In particolare

$$\|u - u_h\|_V \leq \frac{\beta}{\alpha} \inf_{w_h \in V_h} \|u - w_h\|_V$$

Segue che per  $h \rightarrow 0$  lo spazio  $V_h$  coincide con  $V$   
allora

$$\lim_{h \rightarrow 0} \|u - u_h\|_V \leq \frac{\beta}{\alpha} \lim_{h \rightarrow 0} \inf_{w_h \in V_h} \|u - w_h\|_V = 0$$

ed il metodo è convergente.

La scelta dello spazio  $V_h$  è dunque fondamentale e deve garantire tale convergenza. La velocità di convergenza dipenderà dalla scelta di  $V_h$  e dalla regolarità di  $u$ .

## UNA DEFINIZIONE DI ELEMENTO FINITO

Un elemento dello spazio degli elementi finiti è caratterizzato da tre ingredienti

1. Il dominio di definizione  $K$  dell'elemento (ad esempio un triangolo, un quadrilatero nel caso b. dimensionale)
2. Lo spazio dei polinomi  $P_r$  definito su  $K$
3. Un insieme finito di punti di  $K$  (detti gradi di libertà),  $\{a_j\}$ ,  $j = 1, \dots, m$  con  $m \geq r$ .

Inoltre l'insieme  $\Sigma = \{a_j\}_{j=1, \dots, m}$  deve essere univoco rispetto a  $P_r$  ossia il problema dell'interpolazione deve essere ben posto.

Una condizione necessaria è che  $\dim(P_r) = \text{card}(\Sigma)$  poi basta fornire le funzioni base  $\varphi_i \in P_r$  tali che

$$\varphi_i(a_j) = \delta_{ij}, \quad \forall i, j.$$

## Esempio

In due dimensioni possiamo considerare

$$\mathbb{P}_1 = \left\{ f(x,y) = a + bx + cy, \quad a, b, c \in \mathbb{R} \right\}$$

$$\mathbb{P}_2 = \left\{ f(x,y) = a + bx + cy + dxy + ex^2 + gy^2, \quad a, b, c, d, e, g \in \mathbb{R} \right\}$$

⋮

$$\mathbb{P}_r = \left\{ f(x,y) = \sum_{i+j \leq r} a_{ij} x^i y^j \quad \text{con } a_{ij} \in \mathbb{R} \right\}$$

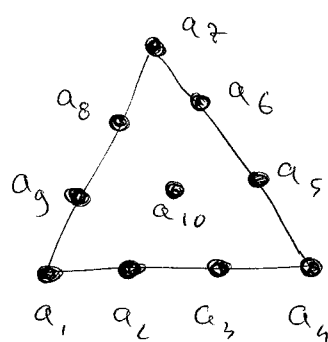
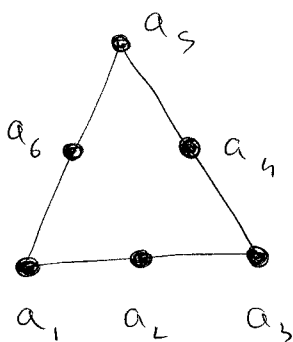
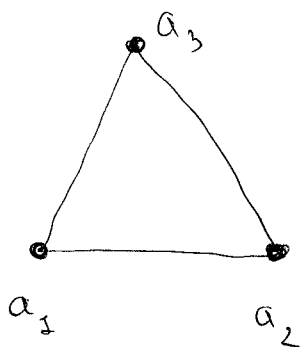
Lo spazio generato dagli element. punti  $h$  e  $l$  sono

$$X_h^r = \left\{ \sigma_h \in C^0(\bar{\Omega}) : \sigma_h|_K \in \mathbb{P}_r, \quad \forall K \in \mathcal{T}_h \right\}$$

si nota che vale

$$\dim(\mathbb{P}_r) = \frac{(r+1)(r+2)}{2}$$

Dunque  $\dim(\mathbb{P}_1) = 3$ ,  $\dim(\mathbb{P}_2) = 6$ ,  $\dim(\mathbb{P}_3) = 10$   
e in una triangolazione abbiamo bisogno rispettivamente di  
3, 6 e 10 nodi opportunamente scelti



OSS: Si può dimostrare che la matrice  $A$  associata al metodo di Galerkin è malcondizionata per valori piccoli del parametro  $h$  che caratterizza la discretizzazione del dominio computazionale.

In altre parole  $h = \max_k h_k$ ,  $h_k = \max_{x,y \in K} |x-y|$

allora il numero di condizionamento  $\mu(A)$  della matrice di ordine 2 è dato da

$$\mu(A) = \frac{\lambda_{\max}(A)}{\lambda_{\min}(A)}$$

con  $\lambda_{\max}$ ,  $\lambda_{\min}$  rispettivamente massimo e minimo autovalore e' tale che  $\mu(A) = \frac{C}{h^2}$  con  $C$  costante opportuna dipendente dal grado degli elementi finiti utilizzati.

OSS: Da quanto visto e' chiaro che il metodo di Galerkin può anche essere applicato nel caso unidimensionale. In tale situazione gli elementi finiti sono intervalli e gli spuri coincidono sostanzialmente con le funzioni splines anche se non vengono imposte condizioni sulle derivate ma determinano le polinomiali a tratti utilizzando un numero adeguato di nodi in ogni intervallo.

# ELEMENTI FINITI PER EQUAZIONI PARABOLICHE

Consideriamo ora il problema

$$u_t = \Delta u + f \quad x \in \Omega \subset \mathbb{R}^2$$

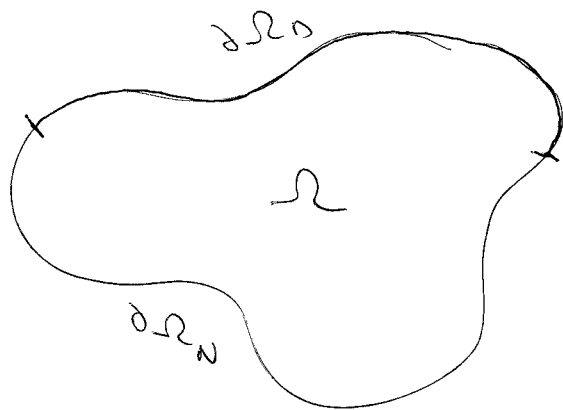
$f = f(x, y, t)$  funzione assegnata. Con le condizioni iniziali e al contorno

$$u(x, y, 0) = u_0(x, y) \quad \text{su } \Omega$$

$$u|_{\partial\Omega_0} = \varphi(x, y) \quad \text{su } \partial\Omega_0$$

in alternative posizioni avere condizioni di tipo Neumann

$$\frac{\partial u}{\partial n} \Big|_{\partial\Omega_N} = \psi(x, y) \quad \text{su } \partial\Omega_N$$



Avremo condizioni miste quando  $\partial\Omega = \partial\Omega_0 \cup \partial\Omega_N$ ,  
condizioni di Dirichlet per  $\partial\Omega = \partial\Omega_0$  e di Neumann  
per  $\partial\Omega = \partial\Omega_N$ .

Anche in questo caso si procede ad una formulazione debole del problema e si sfruttano i risultati visti per il caso ellittico

$$\int_{\Omega} \frac{\partial u}{\partial t} w \, dx + a(u, w) = (f, w) \quad \forall w \in V$$

dove  $a(\cdot, \cdot)$  e  $(f, \cdot)$  sono la forma bilineare e il funzionale associati all'operatore di Poisson.

Per semplicità abbiamo supposto  $\varphi = 0$  e  $\psi = 0$  al bordo.

Possiamo passare direttamente all'approssimazione di Galerkin

$$(1) \quad \int_{\Omega} \frac{\partial u_h}{\partial t} w_h \, dx + a(u_h, w_h) = (f, w_h) \quad \forall w_h \in V_h$$

dove  $V_h \subset V$  spazio opportuno a dimensione finita.

A tale problema associamo il dato iniziale

$$u_h(0) = u_{0h}.$$

Il problema (1) è detto problema semi-discreto in quanto la variabile temporale  $t$  è continua. Si noti che

rappresenti un diverso modo di applicare il metodo delle linee.

Come in procedure esprimiamo

$$u_h = \sum_{j=1}^M u_j(t) \varphi_j(x, y)$$

con  $\{\varphi_j\}$  base di  $V_h$  e  $u_j(t)$  incognite del nostro problema. Per sostituzione in (1) otteniamo

$$\int_{\Omega} \sum_{i=1}^M u_i'(t) \varphi_i(x, y) \varphi_i(x, y) dX +$$

$$a \left( \sum_{j=1}^M u_j \varphi_j, \varphi_i \right) = (f, \varphi_i) \quad i=1, \dots, M$$

dove si è scelto  $\omega_h = \varphi_i$  in quanto  $\omega_h$  è esprimibile come combinazione lineare della base  $\{\varphi_j\}$  e gli operatori coinvolti sono bilineari e lineari.

Osma

$$\sum_{j=1}^M u_j' \int_{\Omega} \varphi_j \varphi_i dX + \sum_{j=1}^M u_j a(\varphi_j, \varphi_i) = (f, \varphi_i)$$

$$i = 1, \dots, M$$

Poniamo ora

$$m_{ij} = \int_{\Omega} \varphi_j \varphi_i \, dx, \quad M = (m_{ij}) \text{ matrice di masse}$$

$$a_{ij} = a(\varphi_j, \varphi_i), \quad A = (a_{ij}) \text{ matrice di stiffness}$$

$$f_i = (f, \varphi_i)$$

abbiamo il problema in forma matriciale

$$M u'(t) + A u(t) = b(t)$$

$$\text{con } u = (u_1, \dots, u_n), \quad b = (f_1, \dots, f_n).$$

È facile dimostrare che la matrice  $M$  è definita positiva e dunque invertibile (verifica per esercizio) abbiamo

$$u'(t) = -M^{-1} A u(t) + M^{-1} b(t)$$

Dunque un sistema di EDO che può essere risolto con metodi di abbiamo visti nelle precedenti parti del corso, ad esempio con il metodo di Crank-Nicolson che garantisce un'accuratezza di ordine 2 nel tempo.

$$M \frac{u^{n+1} - u^n}{\Delta t} + \frac{1}{2} A (u^{n+1} + u^n) = \frac{1}{2} (b^{n+1} + b^n)$$

$$\left( \frac{M}{\Delta t} + \frac{1}{2} A \right) u^{n+1} = \left( \frac{M}{\Delta t} - \frac{1}{2} A \right) u^n + \frac{1}{2} (b^{n+1} + b^n)$$

$$K u^{n+1} = G$$

con  $K = M/\Delta t + \frac{1}{2} A$  matrice associata al nodo

e  $G = \left( \frac{M}{\Delta t} - \frac{1}{2} A \right) u^n + \frac{1}{2} (b^{n+1} + b^n)$  vettore dei

termini noti.

Si noti che se la mesh è fissa nel tempo allora anche  $K$  è una matrice costante e predefinita.

Dunque può essere fattorizzata all'inizio del processo.

Inoltre sia  $M$  che  $A$  sono simmetriche, dunque anche

$K$  è simmetrica e può essere fattorizzata con Cholesky

nella forma  $K = H H^T$  con  $H$  triangolo inferiore.

Ad ogni passo temporale si risolvono dunque due sistemi triangolari in  $M$  incognite ognuno dei quali richiede  $M^2/2$  operazioni.

$$\begin{cases} Hy = G \\ H^T u^{n+1} = y \end{cases}$$

OSS: Per quanto riguarda la stabilità è possibile estendere gli stessi risultati vlt. nel caso delle differenze finite. In particolare il metodo di Eulero esplicito e il metodo di Crank-Nicolson risultano incondizionatamente stabili, ossia stabili  $\forall \Delta t$ .

Nel caso di Eulero esplicito invece si ottiene un condizione del tipo  $\Delta t \leq 2/\lambda_{\max}$ , con  $\lambda_{\max}$  autovalore massimo della matrice di stiffness. In particolare si ha che  $\lambda_{\max} \sim C/h^2$  da cui una condizione di stabilità analoga a quella vista con le differenze finite.